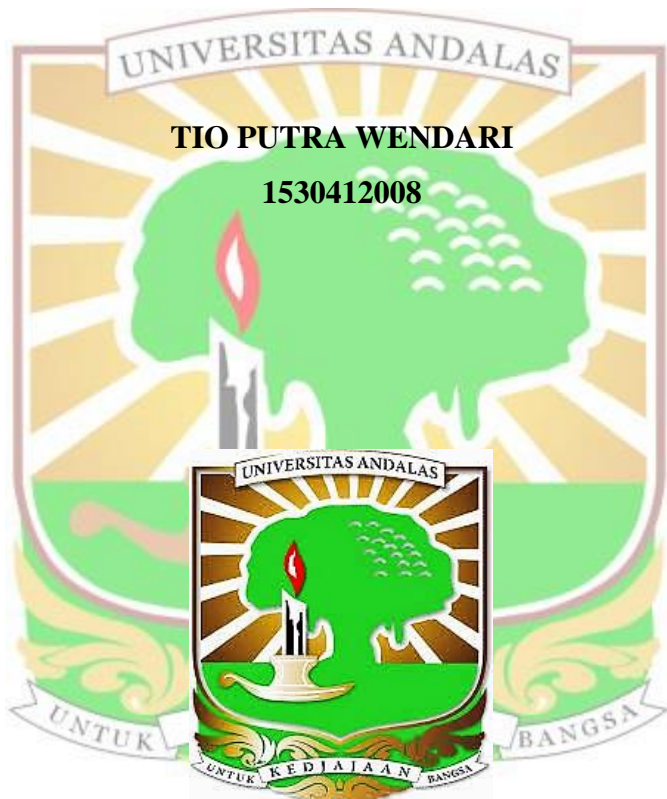


SINTESIS SENYAWA AURIVILLIUS LAPIS-2  $PbBi_2Nb_2O_9$   
TERSUBSTITUSI KATION  $Ln^{3+}$  DAN  $Mn^{3+}$  DENGAN METODE  
LELEHAN GARAM: STRUKTUR, SIFAT FEROELEKTRIK DAN  
MAGNETIK

DISERTASI



PROGRAM STUDI S3 ILMU KIMIA  
PASCASARJANA FAKULTAS MIPA  
UNIVERSITAS ANDALAS  
PADANG  
2020

SINTESIS SENYAWA AURIVILLIUS LAPIS-2  $PbBi_2Nb_2O_9$   
TERSUBSTITUSI KATION  $Ln^{3+}$  DAN  $Mn^{3+}$  DENGAN METODE  
LELEHAN GARAM: STRUKTUR, SIFAT FEROELEKTRIK DAN  
MAGNETIK

TIO PUTRA WENDARI

1530412008



PROGRAM STUDI S3 ILMU KIMIA  
PASCASARJANA FAKULTAS MIPA  
UNIVERSITAS ANDALAS  
PADANG  
2020

## Sintesis Senyawa Aurivillius Lapis-2 $PbBi_2Nb_2O_9$ Tersubstitusi Kation $Ln^{3+}$ dan $Mn^{3+}$ dengan Metode Lelehan Garam: Struktur, Sifat Feroelektrik dan Magnetik

Oleh: TIO PUTRA WENDARI (1530412008)

(Dibawah bimbingan: Dr. Zulhadjri, M.Eng; Prof. Dr. Syukri Arief, M.Eng dan Nandang Mufti, M.T, Ph.D)

### **Abstrak**

Senyawa Aurivillius merupakan senyawa oksida berlapis yang memiliki struktur  $n$  lapisan perovskit  $(A_{n-1}B_nO_{3n+1})^{2-}$  dan lapisan bismut  $(Bi_2O_2)^{2+}$  yang tersusun disepanjang sumbu  $c$ . Kation  $A$  pada lapisan perovskit berupa kation mono-, di-, atau trivalen dengan koordinasi dodekahedral dan kation  $B$  berupa logam transisi dengan koordinasi oktahedral. Fleksibilitas dari kation  $A$  dan kation  $B$  pada lapisan perovskit yang dapat disubstitusi dengan kation lain memungkinkan untuk menghasilkan senyawa Aurivillius bersifat multiferoik dengan penggabungan sifat feroelektrik dan feromagnetik.

Penelitian ini difokuskan untuk mendapatkan sifat multiferoik pada senyawa Aurivillius lapis-2  $PbBi_2Nb_2O_9$ . Sifat feroelektrik dengan suhu *Curie* yang tinggi dari senyawa ini telah dipelajari secara luas berkaitan dengan efek pasangan elektron-elektron  $6s^2$  dari kation  $Pb^{2+}$  dan  $Bi^{3+}$ . Substitusi kation  $d^0$  pada sisi-A diharapkan dapat meningkatkan sifat feroelektrik dan substitusi kation magnetik  $d^n$  ( $Mn^{3+}$ ) pada sisi-B memberikan sifat magnetik pada senyawa ini. Oleh karena itu, senyawa  $PbBi_2Nb_2O_9$  yang disubstitusi kation  $Ln^{3+}$  dan  $Mn^{3+}$  diharapkan menghasilkan senyawa Aurivillius dengan formula baru yang bersifat multiferoik. Formula senyawa yang disintesis dituliskan sebagai  $Pb_{1-2y}Bi_{2-x+2y}Ln_xNb_{2-y}Mn_yO_9$  ( $Ln$ : La $^{3+}$ , Nd $^{3+}$ ) dengan komposisi  $x = 0; 0,5; 1; 1,5$  dan  $y = 0; 0,1; 0,3; 0,5$ . Sintesis senyawa Aurivillius dilakukan dengan metode lelehan garam menggunakan campuran garam sulfat  $K_2SO_4/Na_2SO_4$ . Struktur, morfologi, sifat feroelektrik, dan sifat magnetik dipelajari lebih lanjut pada penelitian ini.

Data difraksi sinar-X dari senyawa  $PbBi_{2-x}Ln_xNb_2O_9$  ( $x = 0; 0,5; 1; 1,5$ ) menunjukkan bahwa senyawa Aurivillius lapis-2 berfasa tunggal berhasil didapatkan pada sampel  $x_{La} = 0; 0,5; 1$  dan  $x_{Nd} = 0,5$ , sedangkan untuk sampel lainnya mengandung fasa pengotor. Senyawa berfasa tunggal  $PbBi_{2-x}Ln_xNb_2O_9$  selanjutnya dilakukan substitusi kation  $Mn^{3+}$  untuk formula  $Pb_{1-2y}Bi_{1,5+2y}La_{0,5}Nb_{2-y}Mn_yO_9$ ,  $Pb_{1-2y}Bi_{1+2y}LaNb_{2-y}Mn_yO_9$ , dan  $Pb_{1-2y}Bi_{1,5+2y}Nd_{0,5}Nb_{2-y}Mn_yO_9$  ( $y = 0; 0,1; 0,3; 0,5$ ). Hasil analisis difraksi sinar-X menunjukkan bahwa senyawa berfasa tunggal berhasil didapatkan pada sampel  $y_{La05} = 0; 0,1; 0,3$ ,  $y_{La1} = 0; 0,3; 0,5$ , dan  $y_{Nd05} = 0; 0,1; 0,3$ .

Morfologi butiran dianalisis menggunakan *Scanning Electron Microscopy* menunjukkan semua sampel berfasa tunggal memiliki butiran berbentuk lempengan (*plate-like*) yang anisotropik. Ukuran butiran rata-rata menurun dengan bertambahnya  $x$  ( $Ln^{3+}$ ), dan mengalami peningkatan dengan bertambahnya  $y$  ( $Mn^{3+}$ ). Peningkatan ukuran butiran ini dapat dikaitkan dengan peningkatan komposisi  $Bi^{3+}$  yang berperan dalam menstimulasi pertumbuhan butiran.

Analisis struktur menggunakan spektroskopi Raman menunjukkan mode vibrasi yang khas dari senyawa Aurivillius lapis-2. Mode vibrasi mengindikasikan

bahwa keseluruhan kation  $\text{La}^{3+}$  menempati sisi-A pada lapisan perovskit, kation  $\text{Pb}^{2+}$  menempati lapisan bismut dan kation  $\text{Mn}^{3+}$  menempati sisi-B pada lapisan perovskit. Pergeseran mode vibrasi pada  $220 \text{ cm}^{-1}$  juga mengindikasikan terjadinya penurunan distorsi struktur dengan meningkatnya  $x$  dan struktur menjadi lebih terdistorsi dengan bertambahnya komposisi  $y$ .

*Refinement* struktur dengan teknik *Rietveld* terhadap data difraksi neutron menunjukkan sampel berfasa tunggal memiliki struktur kristal ortorombik dengan grup ruang  $A2_1am$ , kecuali pada sampel  $x_{\text{La}} = 1$  yang menunjukkan perubahan grup ruang menjadi *Amam*. Hasil *refinement* mengkonfirmasi distribusi kation  $\text{Pb}^{2+}$  dan  $\text{Bi}^{3+}$  pada lapisan bismut dan perovskit, kation  $\text{Ln}^{3+}$  menempati sisi-A dan kation  $\text{Mn}^{3+}$  menempati sisi-B pada lapisan perovskit, seperti yang ditunjukkan pada analisis Raman. Distorsi struktur diamati mengalami penurunan dengan bertambahnya komposisi  $x$  yang diamati dengan penurunan kemiringan sudut oktaedral  $\text{BO}_6$ . Untuk sampel tersubstitusi kation  $\text{Mn}^{3+}$ , distorsi struktur meningkat dengan bertambahnya komposisi  $y$ . Distorsi struktur ini berkaitan erat dengan efek elektron tidak berpasangan  $6s^2$  pada kation  $\text{Bi}^{3+}$  dan  $\text{Pb}^{2+}$ .

Ketergantungan konstanta dielektrik ( $\epsilon$ ) dan dielektrik *loss* ( $\tan \delta$ ) terhadap suhu dari sampel berfasa tunggal yang diukur pada frekuensi berbeda menunjukkan anomali puncak dielektrik yang mengindikasikan suhu transisi fasa feroelektrik menjadi paraelektrik ( $T_c$ ). Puncak  $T_c$  ini menunjukkan adanya sifat feroelektrik. Suhu  $T_c$  dan nilai konstanta dielektrik menunjukkan penurunan dengan meningkatnya  $x$ . Untuk sampel tersubstitusi kation  $\text{Mn}^{3+}$ , suhu  $T_c$  dan konstanta dielektrik mengalami peningkatan dengan peningkatan komposisi  $y$ . Perubahan ini berkaitan dengan distorsi struktur, dimana struktur yang lebih terdistorsi menyebabkan  $T_c$  yang lebih tinggi. Selain itu, puncak dielektrik sampel diamati semakin melebar dan berubah tergantung pada frekuensi dengan meningkatnya nilai  $x$  dan  $y$  yang menunjukkan sifat relaksor. Kurva histeresis feroelektrik pada suhu ruang belum mencapai keadaan saturasi untuk semua sampel, menunjukkan bahwa diperlukan medan listrik yang lebih tinggi untuk mensejajarkan semua domain. Sifat feroelektrik ini diyakini berasal distorsi struktur oktaedral  $\text{BO}_6$  akibat pergeseran atom berdasarkan simetri  $A2_1am$  yang dimiliki.

Analisis sifat magnetik dilakukan pada senyawa tersubstitusi kation  $\text{Mn}^{3+}$ . Nilai suszeptibilitas magnetik ( $\chi$ ) diamati meningkat dengan bertambahnya  $y$  ( $\text{Mn}^{3+}$ ) akibat pengaruh elektron tidak berpasangan. Senyawa berfasa tunggal  $\text{Pb}_{1-2y}\text{Bi}_{1,5+2y}\text{La}_{0,5}\text{Nb}_{2-y}\text{Mn}_y\text{O}_9$  dan  $\text{Pb}_{1-2y}\text{Bi}_{1+2y}\text{LaNb}_{2-y}\text{Mn}_y\text{O}_9$  menunjukkan adanya interaksi feromagnetik, yang dikonfirmasi dengan nilai *Curie-Weiss* ( $\theta_{\text{CW}}$ ) positif. Senyawa  $\text{Pb}_{1-2y}\text{Bi}_{1,5+2y}\text{Nd}_{0,5}\text{Nb}_{2-y}\text{Mn}_y\text{O}_9$  menunjukkan interaksi antiferomagnetik. Nilai momen efektif yang dihitung ( $\mu_{\text{eff}}$ ) menunjukkan adanya campuran kation  $\text{Mn}^{3+}$  dan  $\text{Mn}^{4+}$  pada semua sampel. Campuran valensi ini memungkinkan terjadinya interaksi *double-exchange* jarak pendek yang menghasilkan sifat feromagnetik lemah. Kurva histeresis magnetik didapatkan tidak jenuh dengan pemberian medan magnetik eksternal hingga 5 T. Sifat feromagnetik yang lemah juga dibuktikan oleh loop histeresis yang sempit dan adanya nilai magnetisasi sisa ( $M_r$ ). Dengan demikian, senyawa Aurivillius berfasa tunggal yang disintesis bersifat multiferoik yang ditunjukkan dengan adanya gabungan sifat feroelektrik dan feromagnetik sekaligus dalam satu fasa.

*Keywords:* Fasa Aurivillius, Multiferoik, Lelehan Garam, Feroelektrik, Ortorombik

## Synthesis of the double-layer Aurivillius compound $Ln^{3+}$ and $Mn^{3+}$ substituted $PbBi_2Nb_2O_9$ using molten salt method: Structure, Ferroelectric and Magnetic properties

by: TIO PUTRA WENDARI (1530412008)  
 (Supervised by: Dr. Zulhadjri, M.Eng; Prof. Dr. Syukri Arief, M.Eng and  
 Nandang Mufti, M.T, Ph.D)

### Abstract

Aurivillius compounds are layered oxide compounds consist of  $n$ - perovskite-like ( $A_{n-1}B_nO_{3n+1}$ )<sup>2-</sup> layers dan bismuth ( $Bi_2O_2$ )<sup>2+</sup> layers, stacked along the  $c$ -axis. The  $A$ -site cation in the perovskite-like layers is mono-, di- or trivalent cation with dodecahedral coordination and  $B$ -site cation is the transition metal with octahedral coordination. The flexibility of  $A$ - and  $B$ -cation to be substituted with other cations makes it possible to produce multiferroic Aurivillius compounds in the form of a combination of ferroelectric and ferromagnetic properties.

This research was focused on obtaining multiferroic properties of the double-layer Aurivillius  $PbBi_2Nb_2O_9$ . The ferroelectric properties with high Curie temperature of this compound have been extensively studied concerning the effects of the  $6s^2$  electron pair of both  $Pb^{2+}$  and  $Bi^{3+}$  cations. The substitution of  $d^0$  cation ( $Ln^{3+}$ ) on the  $A$ -site is expected to improve the ferroelectric properties. The substitution of  $d^n$  magnetic cation ( $Mn^{3+}$ ) on the  $B$ -site could give rise to magnetic properties in this compound. Therefore, the synthesis of  $PbBi_2Nb_2O_9$  substituted by a combination of both  $Ln^{3+}$  and  $Mn^{3+}$  is expected to obtain the novel double-layer Aurivillius compounds, which have the multiferroic properties. The formula is written as  $Pb_{1-2y}Bi_{2-x+2y}Ln_xNb_{2-y}MnyO_9$ , where ( $Ln$ :  $La^{3+}$ ,  $Nd^{3+}$ ) for  $x = 0, 0.5, 1, 1.5$  and  $y = 0, 0.1, 0.3, 0.5$ . Synthesis of Aurivillius compounds was carried out by the molten salt method using the mixture of sulfate salt  $K_2SO_4/Na_2SO_4$ . The crystal structure, morphology, ferroelectric and magnetic properties are investigated in this work.

X-ray diffraction data confirmed of the  $PbBi_{2-x}Ln_xNb_2O_9$  compound ( $x = 0; 0.5; 1; 1.5$ ) showed that the single-layer Aurivillius compound was successfully obtained in the sample  $x_{La} = 0, 0.5, 1$  and  $x_{Nd} = 0.5$ , while the other samples contain impurities. The single-phase compound of  $PbBi_{2-x}Ln_xNb_2O_9$  is then substituted for the  $Mn^{3+}$  cation for the formula  $Pb_{1-2y}Bi_{1.5+2y}La_{0.5}Nb_{2-y}MnyO_9$ ,  $Pb_{1-2y}Bi_{1+2y}LaNb_{2-y}MnyO_9$ , dan  $Pb_{1-2y}Bi_{1.5+2y}Nd_{0.5}Nb_{2-y}MnyO_9$  ( $y = 0, 0.1, 0.3, 0.5$ ). The XRD data confirmed the single-phase compound was successfully obtained in samples  $y_{La05} = 0, 0.1, 0.3$ ,  $y_{La1} = 0, 0.3, 0.5$ , and  $y_{Nd05} = 0, 0.1, 0.3$ .

The grain morphology of single-phase samples probed by Scanning Electron Microscopy showed anisotropic plate-like grains. The grain decreases in size with increasing  $x$  ( $Ln^{3+}$ ), and then increases with increasing  $y$  ( $Mn^{3+}$ ). This increase in grain size can be attributed to the increase in  $Bi^{3+}$  content, which can stimulate the grain growth. EDX analysis showed a decrease and increase in the composition of each element following the changes of nominal formula.

Structural analysis using Raman spectroscopy exhibits the vibrational modes typical of the double-layer Aurivillius compound. Vibrational mode indicates that  $La^{3+}$  cations prefer to occupy the  $A$ -site of the perovskite layer, the  $Pb^{2+}$  cation

occupies the bismuth layer and the Mn<sup>3+</sup> cation occupies the *B*-site of the perovskite layer. The vibrational mode shift also indicates a decrease in structural distortion with increasing *x* composition and experiences the structure becoming more distorted with increasing *y* composition.

Structural refinement by the Rietveld refinement technique on neutron diffraction data shows that single-phase sample have an orthorhombic crystal structures with *A21am* space groups, except for  $x_{La} = 1$  sample exhibit a transformation in the space groups to *Amam*. The results of the refinement confirmed the distribution of cations in bismuth and perovskite layers as explained in the Raman analysis. Structural distortion was described as the difference of bond length and bond angle in BO<sub>6</sub> octahedra can further distort the structure. The distortion decreases with increasing *x*, which was observed with a decrease in the tilting angle of the BO<sub>6</sub> octahedra. For the samples with Mn substitution, the structural distortion increase with increasing *y*. The structural distortion observed in this compound is attributed to the effects of lone pairs electron 6s<sup>2</sup> in the Bi<sup>3+</sup> and Pb<sup>2+</sup> cations.

The temperature dependence of the dielectric constant ( $\epsilon$ ) and dielectric loss ( $\tan \delta$ ) of single-phase samples measured at different frequencies exhibit an anomalous dielectric peak corresponding to the phase transition temperature of the ferroelectric to paraelectric ( $T_c$ ). The  $T_c$  peak indicates the onset of ferroelectric order in the samples. The dielectric peaks show a decrease in both  $T_c$  and magnitude of dielectric constant with increasing *x*. The samples with Mn<sup>3+</sup> substitution, both  $T_c$  and magnitude increase with increasing *y* content. This change in dielectric properties is consistent with the structural distortion, a more distorted structure causes a higher  $T_c$ . Furthermore, the dielectric peak of samples exhibits a broader peak and more depending on the frequency with increasing *x* dan *y* content, which confirms a pronounced relaxor-ferroelectric characteristic. The room temperature ferroelectric hysteresis loop is unsaturated for all samples, indicating that higher electric fields are needed to align all the domains. The ferroelectric property of samples is believed to originate from structural distortion of BO<sub>6</sub> octahedra due to the atomic displacement according to *A21am* symmetry.

The investigation of magnetic properties was performed on the samples with Mn substitution. The magnetic susceptibility ( $\chi$ ) was observed to increase with increasing Mn<sup>3+</sup> contents (*y*) due to the presence of unpaired electrons. The single-phase samples of Pb<sub>1-2y</sub>Bi<sub>1.5+2y</sub>La<sub>0.5</sub>Nb<sub>2-y</sub>Mn<sub>y</sub>O<sub>9</sub>, Pb<sub>1-2y</sub>Bi<sub>1+2y</sub>LaNb<sub>2-y</sub>Mn<sub>y</sub>O<sub>9</sub> exhibit the ferromagnetic interaction confirmed with a positive Curie-Weiss value ( $\theta_{CW}$ ). The samples of Pb<sub>1-2y</sub>Bi<sub>1.5+2y</sub>Nd<sub>0.5</sub>Nb<sub>2-y</sub>Mn<sub>y</sub>O<sub>9</sub> exhibit antiferromagnetic interactions. The calculated effective moment value ( $\mu_{eff}$ ) indicates the mixture of Mn<sup>3+</sup> and Mn<sup>4+</sup> cations in all samples. This mixed valence of Mn<sup>3+/4+</sup> allows the short-range double-exchange interactions, giving rise to weak ferromagnetic behavior. The magnetization of all samples is unsaturated in the field up to 5 T. the weak ferromagnetic properties are also evidenced by the narrow hysteresis loop and remnant magnetization ( $M_r$ ) value. Thus, the single-phase Aurivillius compounds have multiferroic properties as exhibit the coexisting of ferroelectric and ferromagnetic properties.

**Keywords:** Aurivillius phase, multiferroic, molten salt method, ferroelectric, orthorhombic structure